

Проблеми математичного моделювання  
та теорії диференціальних рівнянь

УДК 519.863:534

## НЕОБХОДИМЫЕ УСЛОВИЯ ЭКСТРЕМУМА В ЗАДАЧЕ ОПТИМИЗАЦИИ МЕХАНИЧЕСКОЙ ВИБРОСИСТЕМЫ

В. Н. Богомаз

Днепропетровский национальный университет им. Олеся Гончара,  
Днепропетровск, 49050. E-mail: wbogomas@i.ua

Приведены необходимые условия экстремума в задаче оптимизации работы конструкции вибrosистемы, встроенной в уплотняющую машину каткового типа.

**Ключевые слова.** Вибrosистема, условная оптимизация, необходимые условия экстремума.

### 1. Введение

Перспективным направлением интенсификации многих технологических процессов в различных отраслях промышленности является использование вибрационной техники. Область использования вибрационных машин довольно широка и имеет устойчивую тенденцию к дальнейшему росту. В вибромашинах большое распространение получил инерционный привод благодаря простоте и возможности находить значительные возмущающие силы при относительно небольших размерах и массах составляющих узлов.

Как известно, сегодня при уплотнении различных материалов (грунта, бетона и т. п.) очень широко используются машины динамического действия с дебалансным приводом (виброкатки, виброплиты, виброплощадки). Для качественного уплотнения материалов очень важными являются величина возмущающей силы и закон ее изменения. Таким образом, задачу определения режима работы машины для качественного уплотнения некоторой среды целесообразно рассмотреть как задачу оптимизации.

### 2. Постановка задачи оптимизации

В данной работе предложена новая конструкция вибrosистемы, встроенной в виброкаток. Физическая модель предложенной вибrosистемы с инерционными приводами изображена на рисунке 1.

Вибrosистема состоит из заданного фиксированного числа  $n$  дебалансов 2, закрепленных на водиле 3, которое может вращаться относительно продольной оси вальца 1. При этом звенья водила жестко скреплены между собой. Водило и дебалансы имеют независимые индивидуальные приводы.

Обозначим угол поворота центра масс  $i$ -го дебаланса относительно вертикальной оси через  $\psi_i$ , а угол поворота первого звена водила —  $\gamma_1$ . Поскольку

будет рассматриваться движение системы на некотором фиксированном отрезке времени  $[0, T]$  при заранее заданном  $T$ , то целесообразно рассматривать эти величины как функции времени, т. е.,  $\psi_i(t)$  и  $\gamma_1(t)$ .

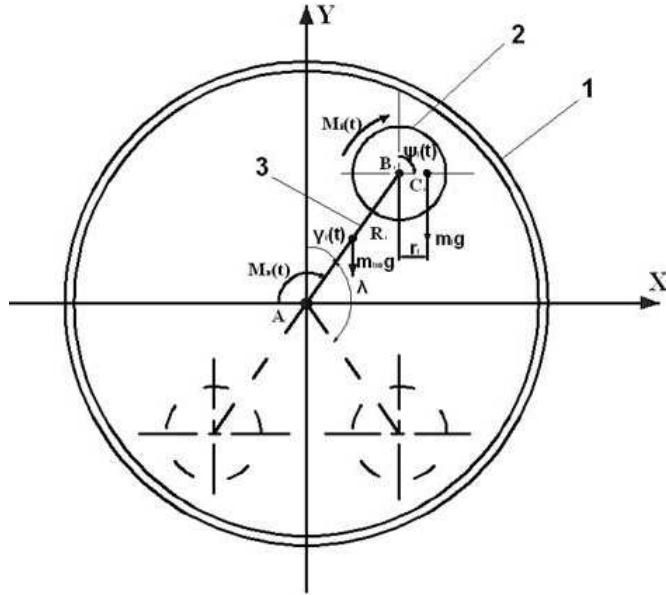


Рис. 1. Физическая модель объекта

При создании математической модели вибросистемы введем некоторые упрощения: 1) моменты трения во вращательных парах равны нулю  $M_{Tp} = 0$ ; 2) валец со встроенной вибросистемой находится в покое во время работы  $v_A = 0 \forall t \in [0, T]$ ; 3) центры масс звеньев водила лежат на их геометрических серединах; 4) вибросистема начинает работать из состояния покоя и начального положения  $\psi_i(0) = \gamma_1(0) = 0 \forall i \in [1, n]$ .

Для определения уравнений движения системы использовались дифференциальные уравнения Лагранжа 2-го рода. В результате их применения получена система дифференциальных уравнений:

$$\left\{ \begin{array}{lcl} \dot{x}_1 & = & x_{n+2}; \\ \dots & ; & \\ \dot{x}_{n+1} & = & x_{2n+2}; \\ \dot{x}_{n+2} & = & \frac{1}{I_{1\partial}}[u_1 + k_1 \sin x_1 - C_1 \sin(x_{n+1} - x_1)x_{2n+2}^2]; \\ \dots & ; & \\ \dot{x}_{2n+1} & = & \frac{1}{I_{n\partial}}[u_n + k_n \sin x_n - C_n \sin(x_{n+1} + \lambda(n-1) - x_n)x_{2n+2}^2]; \\ \dot{x}_{2n+2} & = & \frac{1}{M(x)}[x_{2n+2}^2 \sum_{i=1}^n C_i \sin(\beta_i - x_i) - \\ & & - 2x_{2n+2} \sum_{i=1}^n C_i \sin(\beta_i - x_i)x_{n+1+i} + u_{n+1} + \\ & & + \sum_{i=1}^n N_i \sin(\beta_i) + \sum_{i=1}^n P_i[R_i \sin(\beta_i) + r_i \sin x_i]], \end{array} \right. \quad (2.1)$$

где  $x = \{\psi_1, \dots, \psi_n, \gamma_1, \dot{\psi}_1, \dots, \dot{\psi}_n, \dot{\gamma}_1\}$  — вектор состояния системы;

$\dot{\psi}_i$  — угловая скорость вращения  $i$ -го дебаланса;  
 $\dot{\gamma}_1$  — угловая скорость вращения водила;  
 $u = (u_1, \dots, u_{n+1})$  — вектор управлений системы;  
 $u_i$  — момент вращения привода  $i$ -го дебаланса,  $i = 1, \dots, n$ ;  
 $u_{n+1}$  — момент вращения привода водила;  
 $\lambda = \frac{2\pi}{n}$  — угол между соседними звеньями водила (принимается одинаковым для всех пар соседних звеньев водила);  
 $m_i$  — масса  $i$ -го дебаланса;  
 $m_{izv}$  — масса  $i$ -го звена водила;  
 $R_i$  — длина  $i$ -го звена водила;  
 $r_i$  — эксцентриситет  $i$ -го дебаланса;  
 $I_{izv} = \frac{m_{izv} R_i^2}{3}$  — момент инерции  $i$ -го звена водила относительно оси вращения водила;  
 $I_{i\partial} = \frac{m_i(R_i^2 + 2r_i^2)}{2}$  — момент инерции  $i$ -го дебаланса относительно оси, проходящей через центр его инерции;  
 $L_i^2(x) = R_i^2 + r_i^2 + 2R_i r_i \cos(\beta_i - x_i)$  — квадрат расстояния от оси вращения водила до центра инерции  $i$ -го дебаланса;  
 $\beta_i = x_{n+1} + \lambda(i-1)$  — угол поворота  $i$ -го звена водила;  
 $C_i = m_i R_i r_i$ ,  $k_i = m_i g r_i$ ,  $N_i = m_{izv} g \frac{R_i}{2}$ ,  $M(x) = \sum_{i=1}^n (I_{izv} + m_i L_i^2(x))$ ,  $P_i = m_i g$ .

Всюду далее предположим отсутствие случайных внешних факторов на систему. Таким образом, уравнения движения вибrosистемы представляют собой систему нелинейных дифференциальных уравнений.

Предположим, что фазовые координаты системы  $x(\cdot)$  являются элементами пространства Соболева  $H^1(0, T, \mathbb{R}^{2n+2})$ , а управления  $u(\cdot)$  — элементами пространства суммируемых в квадрате функций  $L_2(0, T, \mathbb{R}^{n+1})$ .

Поскольку существующие приводы могут разгонять дебалансы до некоторого конечного значения скорости, множество допустимых фазовых траекторий имеет вид:

$$X_\partial = \left\{ x \in H^1(0, T, \mathbb{R}^{2n+2}) : \alpha_{min} \leq x_i(t) \leq \alpha_{max}, \alpha_{min} < 0, \alpha_{max} > 0, \forall i \in [n+2, 2n+2], \forall t \in [0, T] \right\}. \quad (2.2)$$

Поскольку существующие приводы могут обладать ограниченным моментом вращения, то за множество допустимых управлений примем

$$U_\partial = \left\{ u \in L_2(0, T, \mathbb{R}^{n+1}) : m_{min} \leq u_i(t) \leq m_{max}, m_{min} < 0, m_{max} > 0, \forall i \in [n+1, n+1], \forall t \in [0, T] \right\}. \quad (2.3)$$

Все  $x \in X_\partial$  далее будем называть допустимыми состояниями системы, а функции, удовлетворяющие условию  $u \in U_\partial$ , — допустимыми управлениями. Всюду далее пару  $(x, u)$  назовем процессом управления, а множество допустимых процессов управления обозначим

$$\Xi = \{(x, u) \in X_\partial \times U_\partial : \text{удовлетворяет системе (2.1)}\}.$$

Начальные условия в обозначениях вектора состояния системы имеют вид  $x_i(0) = 0, \forall i \in [1, 2n+2]$ .

Для достижения эффекта увеличения веса машины на всем заданном промежутке времени задаемся целью найти такой вектор управлений  $u = (u_1, \dots, u_{n+1})$ , обеспечивающий режим работы вибrosистемы, когда суммарная возмущающая сила неположительна на всем заданном промежутке времени  $[0, T]$ .

Таким образом, определим функционал качества как среднее значение возмущающей силы (суммарной силы инерции, возникающей при вращении дебалансов и водила) на заданном фиксированном промежутке времени  $[0, T]$ .

Функционал качества имеет вид:

$$B(x(\cdot), \dot{x}(\cdot)) = \frac{1}{T} \int_0^T L(x(\cdot), \dot{x}(\cdot)) dt, \quad (2.4)$$

где

$$\begin{aligned} L(x(\cdot), \dot{x}(\cdot)) = & \sum_{i=1}^n (m_i [x_{2n+2}^2 R_i \cos x_{n+1} + \\ & + \dot{x}_{2n+2} R_i \sin x_{n+1} + x_{n+i+1}^2 r_i \cos x_i + \dot{x}_{n+i+1} r_i \sin x_i + \\ & + m_i z_B \frac{R_i}{2} [\dot{x}_{2n+2} \sin(x_{n+1} + \lambda(i-1)) + x_{2n+2}^2 \cos(x_{n+1} + \lambda(i-1))]]). \end{aligned}$$

Физический смысл задачи оптимизации: найти законы изменения моментов вращения дебалансов и водила, где значения моментов изменяются в допустимых пределах и приводят к изменениям угловых скоростей в заданных допустимых пределах, при которых среднее значение возмущающей силы на заданном фиксированном промежутке времени  $[0, T]$  минимально.

Таким образом, задача оптимизации имеет вид:

$$\inf_{(x,u) \in \Xi} B(x(\cdot), \dot{x}(\cdot)), \quad \Xi \subset H^1(0, T, \mathbb{R}^{2n+2}) \times L_2(0, T, \mathbb{R}^{n+1})$$

при  $x_i(0) = 0, \forall i \in [1, 2n+2]$ . (2.5)

Существование решения в задаче (2.5) доказано в статье [1].

### 3. Необходимые условия экстремума в поставленной задаче оптимизации

Представим множество допустимых фазовых траекторий  $X_\partial$  в виде системы неравенств такого типа:

$$g_m(x(t)) = x_m(t) - \alpha_{max} \leq 0, \quad g_k(x(t)) = \alpha_{min} - x_k(t) \leq 0, \quad k, m \in [n+2, 2n+2].$$

Таким образом, преобразуем задачу (2.5) к виду:

$$B(x(\cdot), \dot{x}(\cdot)) = \frac{1}{T} \cdot \int_0^T L(x(\cdot), \dot{x}(\cdot)) dt \rightarrow inf, \quad (3.1)$$

$$\dot{x} = f(x, u), \quad (3.2)$$

$$g_m(x(t)) \leq 0, \quad g_k(x(t)) \leq 0, \quad m, k \in [n+2, 2n+2], \quad (3.3)$$

$$u \in U_\partial, \quad (3.4)$$

$$x_i(0) = 0, \quad \forall i \in [1, 2n+2]. \quad (3.5)$$

Таким образом, задача (3.1)–(3.5) является задачей оптимального управления динамической системой с фазовыми ограничениями, с закрепленным временем, со свободным правым концом фазовой траектории.

Рассмотрим подынтегральную функцию функционала качества как отображение  $L : \mathbb{R}^{2n+2} \times \mathbb{R}^{2n+2} \rightarrow \mathbb{R}$  и найдем ее производные по  $x_j \forall j \in [1, 2n+2]$ . Очевидно, что  $L(x(\cdot), \dot{x}(\cdot)) \in C(\mathbb{R}^{2n+2} \times \mathbb{R}^{2n+2})$ .

Производные отображения  $L : \mathbb{R}^{2n+2} \times \mathbb{R}^{2n+2} \rightarrow \mathbb{R}$  по переменным  $x_j \forall j \in [1, 2n+2]$  имеют вид:

$$L_{x_j} = (m_j[x_{n+j+1}^2 r_j \sin x_j - \dot{x}_{n+j+1} r_j \cos x_j]), \forall j \in [1, n]; \quad (3.6)$$

$$\begin{aligned} L_{x_j} = & - \sum_{i=1}^n (m_i[-x_{2n+2}^2 R_i \sin x_{n+1} + \dot{x}_{2n+2} R_i \cos x_{n+1} + \\ & + m_{i3B} \frac{R_i}{2} [\dot{x}_{2n+2} \cos(x_{n+1} + \lambda(i-1)) - \\ & - x_{2n+2}^2 \sin(x_{n+1} + \lambda(i-1))]), j \in \{n+1\}; \end{aligned} \quad (3.7)$$

$$L_{x_j} = 2m_j x_j r_{j-n-1} \cos x_{j-n-1}, \forall j \in [n+2, 2n+1]; \quad (3.8)$$

$$\begin{aligned} L_{x_j} = & - \sum_{i=1}^n [(m_i[2x_{2n+2} R_i \cos x_{n+1} + \\ & + m_{i3B} \frac{R_i}{2} (2x_{2n+2} \cos(x_{n+1} + \lambda(i-1)))], \quad j \in \{2n+2\}. \end{aligned} \quad (3.9)$$

Ясно, что  $L_{x_j}(x(\cdot), \dot{x}(\cdot)) \in C(\mathbb{R}^{2n+2} \times \mathbb{R}^{2n+2})$ ,  $j \in [1, 2n+2]$ .

Рассмотрим правые части дифференциальных уравнений системы (2.1). Очевидно, что  $f(x, u) \in C(\mathbb{R}^{2n+2} \times \mathbb{R}^{n+1})$ . Первые  $n+1$  уравнений системы (2.1) имеют вид  $f_i(x, u) = x_{i+n+1}$ ,  $\forall i \in [1, n+1]$ .

Очевидно, что

$$\begin{aligned} f_{ix_j}(x, u) &= 0, \forall j \neq n+1+i, \forall i \in [1, n+1], \\ f_{ix_j}(x, u) &= 1, \forall j = n+1+i, \forall i \in [1, n+1]. \end{aligned} \quad (3.10)$$

Значит,  $f_{ix_j}(x, u) \in C(\mathbb{R}^{2n+2} \times \mathbb{R}^{n+1})$   $\forall i \in [1, n+1]$ .

Рассмотрим правые части  $f_i(x, u) \forall i \in [n+2, 2n+1]$ . Они имеют вид:

$$\begin{aligned} f_i(x, u) = & \frac{1}{I_{i-n-1}} \left[ u_{i-n-1} + k_{i-n-1} \sin x_{i-n-1} - \right. \\ & \left. - C_{i-n-1} \sin(x_{n+1} - x_{i-n-1}) x_{2n+2}^2 \right]. \end{aligned}$$

Таким образом,  $\forall j \in \Phi_i(j)$ , где

$$\Phi_i(j) = \{j \in \mathbb{N} : j \in [1, n+1] \cup (n+1, 2n+1], j \neq i-n-1\},$$

имеем  $f_{ix_j}(x, u) = 0 \forall i \in [n+2, 2n+1]$ .

Другие случаи:

— если  $j = i - n - 1$ , то

$$f_{j+n+1,x_j}(x, u) = \frac{1}{I_{j,\partial}}[u_j + k_j \cos x_j - C_j \cos(x_{n+1} - x_j)x_{2n+2}^2]; \quad (3.11)$$

— если  $j = \{n + 1\}$ , то

$$f_{ix_j}(x, u) = \frac{1}{I_{i-n-1,\partial}}[-C_{i-n-1} \cos(x_{n+1} - x_{i-n-1})x_{2n+2}^2]; \quad (3.12)$$

— если  $j = \{2n + 2\}$ , то

$$f_{ix_j}(x, u) = \frac{1}{I_{i-n-1,\partial}}[-2C_{i-n-1} \sin(x_{n+1} - x_{i-n-1})x_{2n+2}]. \quad (3.13)$$

Рассматривая полученные выражения, приходим к выводу, что производные непрерывны  $f_{ix_j}(x, u) \in C(R^{2n+2} \times R^{n+1}) \forall i \in [n + 2, 2n + 1]$ .

Рассмотрим  $f_i(x, u)$  при  $i = \{2n + 2\}$ . Учитывая, что

$$M(x) = \sum_{i=1}^n (I_{izv} + m_i L_i^2(x)), \quad L_i^2(x) = R_i^2 + r_i^2 + 2R_i \cdot r_i \cdot \cos(\beta_i - x_i),$$

зависит только от  $x_i \forall i \in [1, n + 1]$  и  $C_i, N_i, k_i, P_i - const$ , производные по  $x_j$  имеют вид:

— если  $j \in [1, n]$ , то

$$f_{2n+2,x_j}(x, u) = \left( \frac{1}{M(x)} \right)_{x_j} \cdot \Lambda(x, u) + \left( \frac{1}{M(x)} \right) \cdot (K_1(x, u)), \quad (3.14)$$

где

$$\begin{aligned} \Lambda(x, u) = & (-x_{2n+2}^2 \sum_{i=1}^n C_i \sin(\beta_i - x_i) - \\ & - 2x_{2n+2} \sum_{i=1}^n C_i \sin(\beta_i - x_i) x_{n+1+i} + u_{n+1} + \\ & + \sum_{i=1}^n N_i \sin(\beta_i) + \sum_{i=1}^n P_i [R_i \sin(\beta_i) + r_i \sin x_i]), \end{aligned}$$

$$\begin{aligned} K_1(x, u) = & (-x_{2n+2}^2 C_j \sin(\beta_j - x_j) + \\ & + 2x_{2n+2} C_j \sin(\beta_j - x_j) x_{n+1+j} + P_j r_j \sin x_j)); \end{aligned}$$

— если  $j = \{n + 1\}$ , то

$$f_{ix_j}(x, u) = \left( \frac{1}{M(x)} \right)_{x_j} \Lambda(x, u) + \left( \frac{1}{M(x)} \right) (K_2(x, u)), \quad (3.15)$$

где

$$\begin{aligned}
 K_2(x, u) = & (-x_{2n+2}^2 \sum_{i=1}^n C_i \cos(\beta_i - x_i) - \\
 & - 2x_{2n+2} \sum_{i=1}^n C_i \cos(\beta_i - x_i) x_{n+1+i} + u_{n+1} + \\
 & + \sum_{i=1}^n N_i \cos(\beta_i) + \sum_{i=1}^n P_i [R_i \cos(\beta_i))];
 \end{aligned}$$

—  $j \in [n+2, 2n+1]$ , то

$$f_{ix_j}(x, u) = \left( \frac{1}{M(x)} \right) (-2x_{2n+2} C_j \sin(x_{n+1} + \lambda(j-n-2) - x_{j-n-1})); \quad (3.16)$$

— если  $j = \{2n+2\}$ , то

$$\begin{aligned}
 f_{ix_j}(x, u) = & \left( \frac{1}{M(x)} \right) (-x_{2n+2} \sum_{i=1}^n C_i \sin(\beta_i - x_i) - \\
 & - 2 \sum_{i=1}^n C_i \sin(\beta_i - x_i) x_{n+1+i}). \quad (3.17)
 \end{aligned}$$

Поскольку всегда  $M(x) > 0$ , то полученные выражения показывают, что  $f_{ix_j}(x, u) \in C(\mathbb{R}^{2n+2} \times \mathbb{R}^{n+1})$  при  $i = \{2n+2\}$ .

Поскольку функции

$$g_m : \mathbb{R}^{2n+2} \rightarrow \mathbb{R}^{2n+2} \text{ и } g_k : \mathbb{R}^{2n+2} \rightarrow \mathbb{R}^{2n+2}$$

$\forall m, k \in [n+2, 2n+2]$  линейны относительно  $x_m$  и  $x_k$ , то они непрерывны и непрерывно дифференцируемы по  $x_m$  и  $x_k$ .

Очевидно, что множество допустимых управлений  $U_\partial$  включено в класс измеримых ограниченных функций на  $[0, T]$ , поскольку  $U_\partial \subset L_2(0, T, \mathbb{R}^{n+1})$ . Заметим, что дифференцируемости функций и отображений по  $t$  не требуется.

Поскольку отображения

$$L : \mathbb{R}^{2n+2} \times \mathbb{R}^{2n+2} \rightarrow \mathbb{R}, \quad f : \mathbb{R}^{2n+2} \times \mathbb{R}^{n+1} \rightarrow \mathbb{R}^{2n+2},$$

$$g_m : \mathbb{R}^{2n+2} \rightarrow \mathbb{R}^{2n+2} \text{ и } g_k : \mathbb{R}^{2n+2} \rightarrow \mathbb{R}^{2n+2}$$

непрерывны и непрерывно дифференцируемы по  $x_j$ , то в задаче (3.1)–(3.5) необходимым условием оптимальности является принцип максимума Понтрягина для задач оптимального управления с фазовыми ограничениями при закрепленном времени, доказанный и изложенный в [2].

Введем функцию Понтрягина в виде:

$$H(t, x, \dot{x}, u, p, \lambda) = (p, f(x, u))_{R^{2n+2}} - \lambda L(x, \dot{x}). \quad (3.18)$$

и гамильтониан:

$$\Gamma(t, x, \dot{x}, p, \lambda) = \sup_{u \in U} H(t, x, \dot{x}, u, p, \lambda). \quad (3.19)$$

Перед тем как перейти к формулировке принципа максимума, напомним необходимые определения.

**Определение 1.** [4] Мера  $\mu$  на  $X$  называется регулярной, если для любого множества  $A \subset X$  существует  $\mu$ -измеримое множество  $B$  такое, что  $A \subset B$  и  $\mu(A) = \mu(B)$ .

**Определение 2.** [4] Функция  $f \in L^1(U)$  имеет ограниченную вариацию на  $U \subset \mathbb{R}^n$ , если  $\sup \left\{ \int_U f \operatorname{div} \varphi dx : \varphi \in C_c^1(U; \mathbb{R}^n), |\varphi| \leq 1 \right\} < \infty$ .

**Теорема 1.** (Принцип максимума Понтрягина [2]): *Пусть  $(x_*, u_*)$  — оптимальный процесс управления в задаче (3.1)–(3.5). Тогда существуют не равные одновременно нулю число  $\lambda \geq 0$ , векторы  $l_0 \in \mathbb{R}^{2n+2}$ ,  $l_1 \in \mathbb{R}^{2n+2}$ , вектор-функция  $p(\cdot) : [0, T] \rightarrow \mathbb{R}^{2n+2}$  и неотрицательные регулярные меры  $\mu_k, \mu_m$ ,  $m, k \in [n+2, 2n+2]$  на  $[0, T]$ , сосредоточенные соответственно на множествах*

$$T_k = \{t \in [0, T] : g_k(x_*(t)) = 0\} \quad u \quad T_m = \{t \in [0, T] : g_m(x_*(t)) = 0\}$$

такие, что:

a) вектор-функция  $p(\cdot) : [0, T] \rightarrow \mathbb{R}^{2n+2}$  является решением интегрального уравнения

$$\begin{aligned} p(t) = & -h_1'^*(x_*(T))l_1 + \int_0^T H_x((\tau, x_*(\tau), u_*(\tau), p(\tau), \lambda) d\tau - \\ & - \sum_{k=n+2}^{2n+2} \int_t^T g_{kx} d\mu_k - \sum_{m=n+2}^{2n+2} \int_t^T g_{mx} d\mu_m, \end{aligned} \quad (3.20)$$

и удовлетворяет условию

$$p(0) = -h_0'^*(x_*(0))l_0; \quad (3.21)$$

б) почти при всех  $t \in [0, T]$  выполняется равенство

$$\Gamma(t, x_*(t), \dot{x}_*(t), p(t), \lambda) = H(t, x_*(t), \dot{x}_*(t), x_*(t), p(t), \lambda). \quad (3.22)$$

Отметим, что функция  $p(\cdot)$  из-за наличия фазовых ограничений и присутствия в уравнении (3.20) интегралов по мерам  $\mu_k, \mu_m$  может иметь разрывы. Однако она всегда является функцией ограниченной вариации, непрерывной слева, поскольку меры  $\mu_k, \mu_m$  — регулярны (по условию принципа максимума Понтрягина).

Применим сформулированный принцип максимума к задаче (3.1)–(3.5). Заметим при этом, что в уравнении (3.20) слагаемое  $h_1'^*(x_*(T))l_1 = 0$  из-за предположения о свободном правом крае фазовых траекторий.

Условие (3.21) для задачи (3.1)–(3.5) имеет вид  $p_i(0) = \text{const } \forall i \in [1, 2n + 2]$ . Рассмотрим производные функции

$$H(t, x, \dot{x}, u, p, \lambda) = (p, f(x, u))_{\mathbb{R}^{2n+2}} - \lambda L(x, \dot{x})$$

для различных  $x_j$  и  $j \in [1, 2n + 2]$ :

— если  $j \in [1, n]$ , то

$$H_{x_j} = p_{j=i-n-1} f_{jx_j}^1(x, u) + p_{2n+2} f_{2n+1, x_j}^2(x, u) - \lambda L_{x_j}, \quad (3.23)$$

где  $f_{jx_j}^1(x, u)$  принимает вид (3.11),  $f_{jx_j}^2(x, u)$  принимает вид (3.14),  $L_{x_j}$  принимает вид (3.6);

— если  $j = \{n + 1\}$ , то

$$H_{x_j} = \sum_{i=n+2}^{2n+1} p_i f_{ix_j}^1(x, u) + p_{2n+2} f_{2n+2, x_j}^2(x, u) - \lambda L_{x_j}; \quad (3.24)$$

где  $f_{jx_j}^1(x, u)$  принимает вид (3.12),  $f_{jx_j}^2(x, u)$  принимает вид (3.15),  $L_{x_j}$  принимает вид (3.7);

— если  $j \in [n + 2, 2n + 1]$ , то

$$H_{x_j} = p_{j=i-n-1} + p_{2n+2} f_{2n+2, x_j}^2(x, u) - \lambda L_{x_j}, \quad (3.25)$$

где  $f_{jx_j}^2(x, u)$  принимает вид (3.16),  $L_{x_j}$  принимает вид (3.8);

— если  $j = \{2n + 2\}$ , то

$$H_{x_j} = p_{i=j-n-1} + \sum_{i=n+2}^{2n+1} p_i f_{ix_j}^1(x, u) + p_{2n+2} f_{2n+2, x_j}^2(x, u) - \lambda L_{x_j}, \quad (3.26)$$

где  $f_{jx_j}^1(x, u)$  принимает вид (3.13),  $f_{jx_j}^2(x, u)$  принимает вид (3.17),  $L_{x_j}$  принимает вид (3.9).

Рассмотрим функции  $g_m(x(t)) \leq 0, g_k(x(t)) \leq 0 \quad m, k \in [n + 2, 2n + 2]$ . Их производные равны:

$$g_{mx_j}(x(t)) = g_{kx_j}(x(t)) = 0 \quad \forall m, k \neq j$$

и

$$g_{mx_j}(x(t)) = g_{kx_j}(x(t)) = 1 \quad \forall m, k = j.$$

Таким образом, уравнение (3.20) имеет вид:

— если  $j \in [1, n]$ , то

$$p_j(t) = \int_t^T H_{x_j}(\tau, x_*(\tau), u_*(\tau), p(\tau), \lambda) d\tau, \quad (3.27)$$

где  $H_{x_j}(\tau, x_*(\tau), u_*(\tau), p(\tau), \lambda)$  принимает вид (3.23);

— если  $j = \{n + 1\}$ , то

$$p_j(t) = \int_t^T H_{x_j}(\tau, x_*(\tau), u_*(\tau), p(\tau), \lambda) d\tau, \quad (3.28)$$

где  $H_{x_j}(\tau, x_*(\tau), u_*(\tau), p(\tau), \lambda)$  принимает вид (3.24);

— если  $j \in [n + 2, 2n + 1]$ , то

$$p_j(t) = \int_t^T H_{x_j}(\tau, x_*(\tau), u_*(\tau), p(\tau), \lambda) d\tau - \int_t^T d\mu_{k=j} - \int_t^T d\mu_{m=j}, \quad (3.29)$$

где  $H_{x_j}(\tau, x_*(\tau), u_*(\tau), p(\tau), \lambda)$  принимает вид (3.25);

— если  $j = \{2n + 2\}$ , то

$$p_j(t) = \int_t^T H_{x_j}(\tau, x_*(\tau), u_*(\tau), p(\tau), \lambda) d\tau - \int_t^T d\mu_{k=j} - \int_t^T d\mu_{m=j}, \quad (3.30)$$

где  $H_{x_j}(\tau, x_*(\tau), u_*(\tau), p(\tau), \lambda)$  принимает вид (3.26).

Следует заметить, что, если решение  $(x_*, u_*)$  не выходит на ограничение, тогда  $\mu_k, \mu_m = 0 \forall m, k \in [n + 2, 2n + 2]$ . Если решение выходит на границу в некоторой точке  $\tau \in [0, T]$ , тогда  $\mu_k, \mu_m$  — точечные меры Дирака. Если же решение выходит на границу на некотором множестве  $[\tau_1, \tau_2] \subset [0, T]$ , то

$$\int_{\tau_1}^{\tau_2} d\mu_k = \mu_k(\tau_1, \tau_2) \text{ и } \int_{\tau_1}^{\tau_2} d\mu_m = \mu_m(\tau_1, \tau_2), \forall m, k \in [n + 2, 2n + 2].$$

Рассмотрим условие (3.25): из условия максимума функции  $H$  по  $u \in R^{n+1}$  получим, что оптимальное управление удовлетворяет условиям:

$$u_j = \begin{cases} m_{max}, p_j(t) > 0, \\ m_{min}, p_j(t) < 0, \forall j \in [1, n + 1]. \end{cases} \quad (3.31)$$

Таким образом, оптимальные процессы в задаче (3.1)–(3.5) должны удовлетворять уравнениям (3.26)–(3.30) и условиям (3.31).

В качестве примера рассмотрим вибросистему вышеприведенной конструкции с двумя дебалансами  $n = 2$ . Будем рассматривать динамику системы на протяжении отрезка времени  $[0, 2\pi]$ . Массы дебалансов  $m = m_1 = m_2 = 2$  кг, массы звеньев водила  $m_{zv} = m_{1zv} = m_{2zv} = 3$  кг, длина звеньев  $R = R_1 = R_2 = 0,4$  м, эксцентрикитеты дебалансов  $r = r_1 = r_2 = 0,05$  м, предельно допустимые угловые скорости вращения дебалансов и водила в целом  $\alpha_{max} = -\alpha_{min} = 15 c^{-1}$ , максимальные моменты вращения приводов дебалансов и водила в целом  $m_{max} = -m_{min} = 2$  Нм.

*Замечание 1.* Поскольку в примере четное количество дебалансов, то подынтегральное выражение несколько упрощается из-за того, что возмущающие силы от вращения звеньев водила компенсируют друг друга.

Таким образом, функционал (3.1) будет иметь вид:

$$B(x(\cdot), \dot{x}(\cdot)) = \frac{1}{2\pi} \int_0^{2\pi} [2mR(x_6^2 \cos x_3 + \dot{x}_6 \sin x_3) + \\ + mr(x_4^2 \cos x_1 + \dot{x}_4 \sin x_1 + x_5^2 \cos x_2 + \dot{x}_5 \sin x_2)] dt.$$

В результате численного моделирования задачи оптимизации получим, что искомые управлении  $u_1, u_2, u_3$  имеют вид, представленный на рисунке 2.

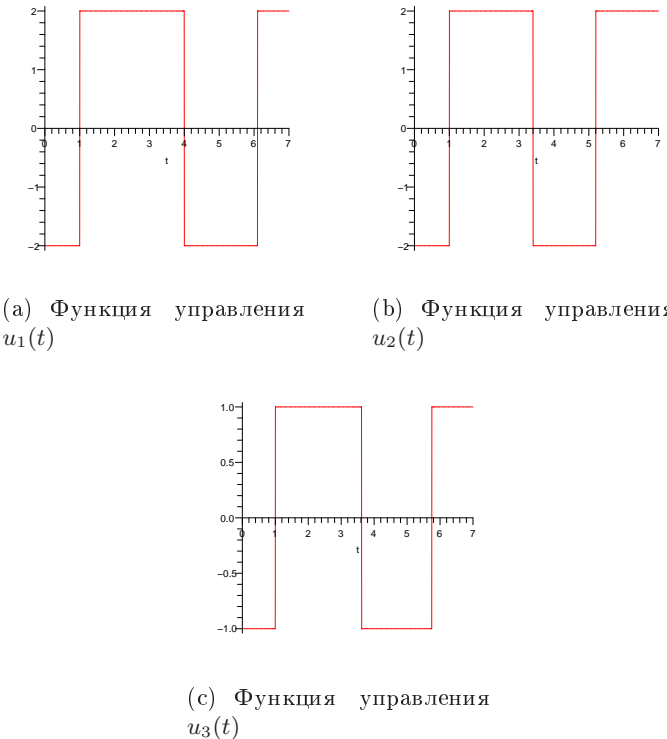


Рис. 2. Функции управления

При действии на валы дебалансов и водила найденных моментов вращения  $u_1, u_2, u_3$  фазовые координаты  $x_1, x_2, x_3, x_4, x_5, x_6$  изменяются по кривым, показанным на рисунке 3.

Таким образом, при найденной вектор-функции управления

$$u = (u_1, u_2, u_3)$$

суммарная сила инерции при вращении дебалансов и водила имеет вид, представленный на рисунке 4.

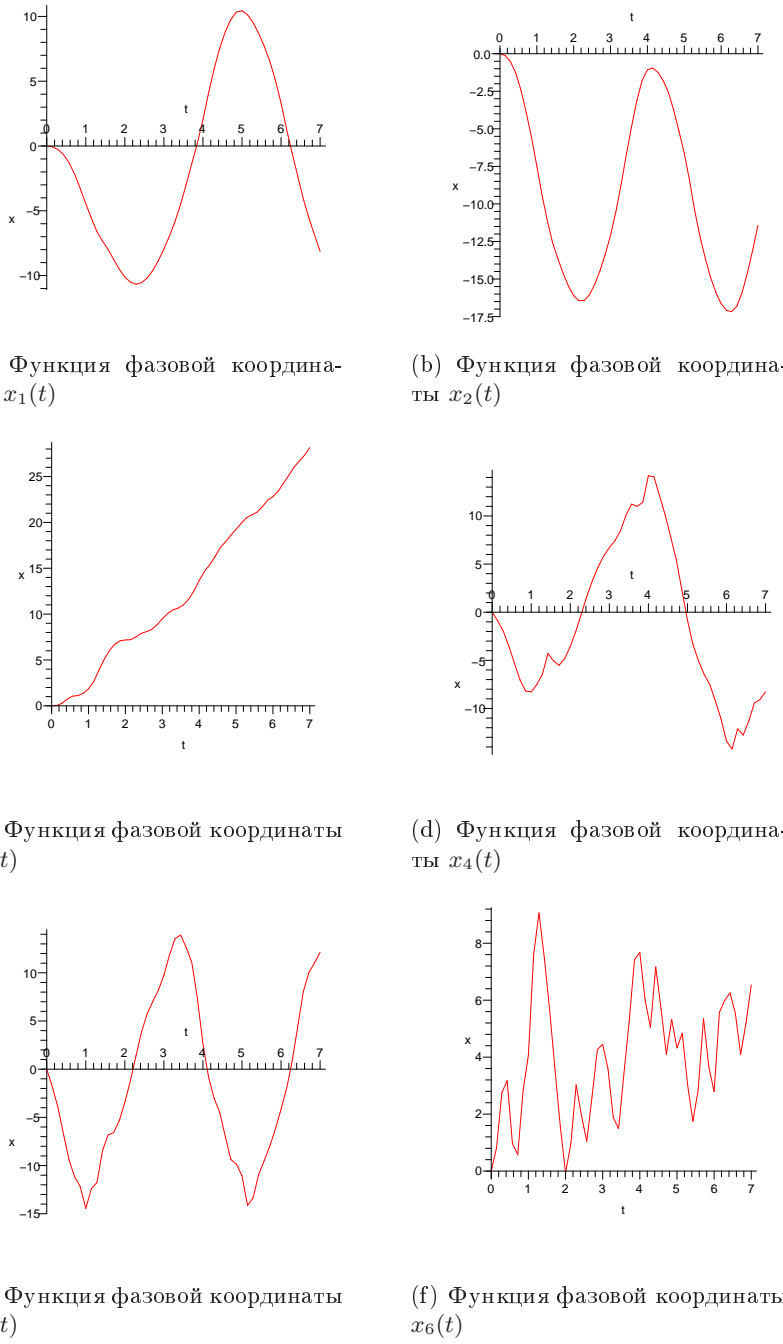


Рис. 3. Функции фазовых координат

Рассматривая кривую изменения суммарной возмущающей силы, приходим к выводу, что среднее ее значение на заданном промежутке времени отрицательно, но, как видно из рисунка 4, есть несколько отрезков времени, где  $L(x(\cdot), \dot{x}(\cdot)) > 0$ , т. е., нет эффекта увеличения веса машины на всем заданном промежутке времени. Таким образом, целесообразно перейти к новой постановке задачи оптимизации режима работы вибrosистемы предложенной

конструкции, с несколькими функционалами качества (задаче векторной оптимизации).

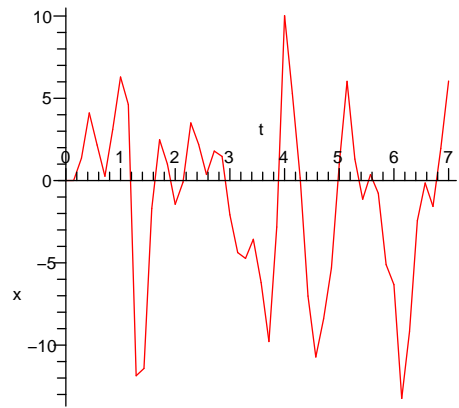


Рис. 4. Функция суммарной возмущающей силы  $L(t)$

#### 4. Выводы

Таким образом, в статье выведены необходимые условия оптимальности в задаче оптимизации работы механической вибrosистемы, которая представляет собой задачу оптимального управления с фазовыми ограничениями со скалярным функционалом качества.

#### Библиографические ссылки

1. Богомаз В. Н. Об одной задаче оптимизации механической вибrosистемы // Питання прикладної математики та математичного моделювання, Зб. наук. пр.— Дніпропетровськ : ДНУ, 2010. — С. 16–32.
2. Иоффе А.Д., Тихомиров В.М. Теория экстремальных задач // М. : Наука, 1974. — С. 480.
3. Васильев Ф.П. Методы решения экстремальных задач. // М. : Наука, 1981. — С. 400.
4. Эванс Л.К., Гариупи Р.Ф. Теория меры и тонкие свойства функций // Новосибирск : Научная книга, 2002. — С. 207.

*Надійшла до редакції 01.04.2010*